

⑩ 日本国特許庁(JP)

⑪ 特許出願公開

⑫ 公開特許公報(A) 昭63-239676

⑬ Int. Cl.<sup>4</sup>  
G 11 C 11/34

⑭ 特許庁  
3 6 2

⑮ 特許庁  
G-8522-5B

⑯ 公開 昭和63年(1988)10月5日

⑰ 特許請求 未請求 発明の数 1 (全14頁)

⑱ 発明の名称 半導体記憶装置

⑲ 特 願 昭62-71428

⑳ 出 願 昭62(1987)3月27日

㉑ 発 明 者 山 口 泰 紀 東京都青森市今井232番地 株式会社日立製作所デバイス開発センター内

㉒ 出 願 人 株式会社日立製作所 東京都千代田区神田駿河台4丁目6番地

㉓ 代 理 人 弁理士 小川 勝男 外1名

# 明 細 書

## 1. 発明の名称

半導体記憶装置

## 2. 特許請求の範囲

1. ノメモリアレイを構成する複数のデータ線を通じてパラレルに出力される複数の読み出しデータを受け外部から供給されるクロック信号に従ってシリアルに出力する直列変換回路と、上記直列変換回路のシリアル出力動作を制御するタイミング制御回路を含み、上記シリアル出力動作を開始するタイミングが外部から供給される起動制御信号によって起動されてから上記シリアル出力動作を開始するまでの上記クロック信号のタイクル数を設定することによって任意に設定しうるものであることを特徴とする半導体記憶装置。

2. 上記タイミング制御回路は、上記起動制御信号に同期して外部から供給される上記タイクル数を取り込み上記クロック信号に従ってカウントダウンするカウンタ回路と、上記カウンタ回路の出力信号が全ビット論理"0"になることを検出し

シリアル出力動作を行うための内部クロック信号を形成するタイミング発生回路を含むものであることを特徴とする特許請求の範囲第1項記載の半導体記憶装置。

3. 上記半導体記憶装置はデュアル・ポート・メモリであり、上記タイクル数はランダム・アクセス・ポート用の複数のデータ入力端子を介して供給されるものであることを特徴とする特許請求の範囲第1項又は第2項記載の半導体記憶装置。

## 3. 発明の詳細な説明

(産業上の利用分野)

この発明は、半導体記憶装置に関するもので、例えば、ランダム入出力回路とシリアル入出力回路を備えた半導体記憶装置のデュアル・ポート・メモリに利用して特に有効な技術に関するものである。

(従来の技術)

文字あるいは図形等をCRT(陰極線管)の画面上に表示させるための画像用フレームバッファメモリについては、例えば日経マイクロシステム

行の1386年3月24日付「日経エレクトロニクス」の243頁-264頁に記載されている。

上記に記載されるデュアル・ポート・メモリには、記憶データを1ビット又は数ビット単位で入出力するためのランダム・アクセス・ポートと、記憶データをメモリアレイのワード単位でシリアルに入出力するためのシリアル・アクセス・ポートが設けられる。

(発明が解決しようとする課題)

このようなデュアル・ポート・メモリには、第4図に示すように、外部から供給される制御信号として、ロウアドレスストローブ信号 $\overline{RAS}$ 、カラムアドレスストローブ信号 $\overline{CAS}$ 及びライトイネーブル信号 $\overline{WE}$ のほか、例えばデータ伝送制御信号 $\overline{DT}/\overline{OE}$ 、シリアル出力制御信号 $\overline{SC}$ 及びシリアルクロック信号 $\overline{SC}$ が設けられる。デュアル・ポート・メモリにおいて読み出しデータのシリアル出力動作が行われる読み出しデータ伝送モードは、ロウアドレスストローブ信号 $\overline{RAS}$ がハイレベルからロウレベルに変化された時点で、

カラムアドレスストローブ信号 $\overline{CAS}$ 及びライトイネーブル信号 $\overline{WE}$ がハイレベルであり、データ伝送制御信号 $\overline{DT}/\overline{OE}$ がロウレベルであることによって開始される。このとき、ロウアドレスストローブ信号 $\overline{RAS}$ の立ち下がりに同期して読み出しを行うワード線のアドレス $A_X$ が外部端子 $A_0-A_{11}$ に供給され、選択されたワード線に結合されるメモリセルからの読み出し信号が対応するデータ線に建立される。また、ロウアドレスストローブ信号 $\overline{RAS}$ にやや遅れてロウレベルとされるカラムアドレスストローブ信号 $\overline{CAS}$ の立ち下がりに同期してシリアル出力する先頭カラムアドレス $A_Y$ が外部端子 $A_0-A_{11}$ に供給される。その後データ伝送制御信号 $\overline{DT}/\overline{OE}$ がハイレベルに戻されることによって、各データ線にパラレルに出力された読み出しデータをシリアル・アクセス・ポートのデータレジスタに伝送するためのタイミング信号 $\overline{SC}$ が形成されるとともに、シリアルクロック信号 $\overline{SC}$ に同期して形成されるタイミング信号 $\overline{SC}$ によってデータレジスタに伝送され

た新しいシリアルデータ $((A_X-A_Y))$ 以降のデータの出力動作が開始される。

データ伝送制御信号 $\overline{DT}/\overline{OE}$ を一旦ロウレベルとした後、ハイレベルに戻してシリアル出力動作を開始させるタイミングは、このデュアル・ポート・メモリを駆動する外部のメモリ制御回路に設けられ水平位置調整を計数するためのカウンタ回路の出力信号をモニターすることによって制御される。すなわち、デュアル・ポート・メモリの1ワード線に結合されるメモリセルの読み出しデータの出力が終わりに近づいた時点でデュアル・ポート・メモリの再起動が行われ、新しいワード線のメモリセルの読み出しデータが対応するデータ線に出力される。その後、メモリ制御回路のカウント回路の計数値が目標選択されたワード線に結合されるメモリセルからの読み出しデータのシリアル出力動作の完了を示す値となり、シリアルクロック信号 $\overline{SC}$ がロウレベルとなる時間を見計らって、データ伝送制御信号 $\overline{DT}/\overline{OE}$ がハイレベルに戻され、新しく選択されたワード線に結合

されるメモリセルからの読み出しデータがデータレジスタに伝送され、シリアル出力動作が開始される。これにより、CRTのドットレートに同期したリアルタイムなデータ伝送が行われる。

しかしながら、ディスプレイ技術が進展し、高解像度のCRTが開発されることによって、表示データがシリアル出力されるドットレートが高速度化して来たため、データ伝送制御信号 $\overline{DT}/\overline{OE}$ をシリアルクロック信号 $\overline{SC}$ に同期して立ち上げることが困難となって来た。すなわち、データ伝送制御信号 $\overline{DT}/\overline{OE}$ をハイレベルに戻すタイミングは、前述のように、メモリ制御回路のカウント回路の出力信号をモニターすることによって決定される。したがって、シリアルクロック信号 $\overline{SC}$ によってカウント回路が計数する経過時間とその出力信号をデコードしてモニターする経過時間が、シリアルクロック信号 $\overline{SC}$ の周期に比較して相対的に大きくなると、データ伝送制御信号 $\overline{DT}/\overline{OE}$ をシリアルクロック信号 $\overline{SC}$ に同期して立ち上げることが困難となるものである。このため、第4図に

点取を示すように、データ伝送制御信号DT/OEとシリアルクロック信号SCとの時間関係が結合されて、特にデータ伝送制御信号DT/OEの立ち上がりでシリアルクロック信号SCの立ち上がりが遅れることによって、所定遅延されたデータに結合されるメモリセルからの読み出しデータモデレグスタに転送するためのタイミング信号が短くなる。これにより、シリアルデータ伝送動作が不安定なものとなり、表示画像が乱れてしまう結果となる。

この発明の目的は、シリアルデータ伝送動作の安定化を図ったデュアル・ポート・メモリ等の半導体記憶装置を提供することにある。

この発明の目的ならびにその他の目的と所収な特徴は、この明細書の記述および添付図面から明らかになるであろう。

(問題点を解決するための手段)

本発明において開示される実施例のうち代表的なものの概要を簡単に説明すれば、下記の通りである。すなわち、デュアル・ポート・メモリのデー

タ伝送時において、読み出しデータのデレグスタへの転送動作を開始するタイミングをデータ伝送サイクル開始後転送動作を開始するまでの間のクロック信号のサイクル数を指定することによって任意に設定できるようにするものである。

(作用)

上記手段によれば、デュアル・ポート・メモリのデータ伝送動作を開始する時点においてメモリ制御回路のカウント回路の計数値によって転送動作を開始するクロック信号位置を任意に指定することができ、またデュアル・ポート・メモリ内に設けられるカウンタダウン用のカウンタ回路によりクロック信号に同期した転送動作を行うことができるため、表示データの転送動作の安定化を図ったデュアル・ポート・メモリ等の半導体記憶装置を実現できるものである。

(実施例)

第1図には、この発明が適用されたデュアル・ポート・メモリの一実施例のブロック図が示されている。同図の各図記ブロックは、公知の半導体

装置回路の製造技術によって、特に制限されないが、集積シリコンのような1個の半導体基板上において形成される。

この実施例のデュアル・ポート・メモリには、4ビット単位でアクセスされダイナミック型RAMを基本構成とするランダム・アクセス・ポートと、ワード単位で記憶データのシリアル入出力を行うシリアル・アクセス・ポートが設けられる。これにより、デュアル・ポート・メモリは、一連のシリアル入出力動作を行いながら同時にランダム・アクセス・ポートのアクセスを行うことが可能になっている。また、特に制限されないが、ランダム・アクセス・ポートに含まれるランダム入出力回路R10にはラスタ演算を行うための論理演算回路が設けられ、この論理演算回路を制御するための論理制御回路FCが設けられる。論理演算回路には論理演算や論理和等の各種の演算方法が用意され、どの演算を行うかは制御信号の特定の組み合わせにおいてアドレス信号用外部端子A0-A3を介して入力される演算コードによって指

定される。

シリアル・アクセス・ポートには、シリアル入出力端子S10が設けられ、通常4つのシリアル入出力端子S101-S104を介して、1つのメモリアレイに対応する記憶データが同時にシリアルに入出力される。また、演算コードの特定の組み合わせにおいて、1つのメモリアレイから出力される読み出しデータをシリアル入出力端子S101を介して交互に出力するいわゆるM1ビット構成のメモリとして使用することもできる。

デュアル・ポート・メモリには、外部の装置から、通常のダイナミック型RAMで用いられるロウアドレスストローブ信号RAS、カラムアドレスストローブ信号CAS及びライトイネーブル信号WE等の制御信号の他、出力制御及びランダム・アクセス・ポートとシリアル・アクセス・ポートとの間のデータ伝送制御に用いられるデータ伝送制御信号DT/OEと、シリアル・アクセス・ポートの入出力切り換え制御に用いられるシリアル出力制御信号OE及びシリアル入出力時に

いて同期信号として用いられるシリアルクロック信号SCが入力される。

この実施例のデュアル・ポート・メモリのランダム・アクセス・ポートには、特に制限されないが、1つのメモリアレイM-ARY1-M-ARY4が設けられ、それぞれのメモリアレイに対応してセンスアンプSA1-SA4、カラムスイッチCSW1-CSW4が設けられる。また、メモリアレイM-ARY1-M-ARY4に共通に、ランダム・アクセス・ポート用カラムアドレスデコードRCD及びロウアドレスデコードRDが設けられる。これらのアドレスデコードは、半導体基板上のメモリアレイの配置に応じて、任意に設けられることもある。第1図には、メモリアレイM-ARY1とその周辺回路が例示的に示されている。

第1図において、メモリアレイM-ARY1は、同図の垂直方向に配置される $m+1$ 本のワード線と、同図の水平方向に配置される $n+1$ 本の相補データ線及びこれらのワード線と相補データ線の

交点に配置される $(m+1) \times (n+1)$ 個のメモリセルにより構成される。

メモリアレイM-ARY1を構成するダイナミック型メモリセルは、情報記憶用 $\phi$ ・パシタとアドレス選択用MOSFETにより構成される。同一の行に配置される $n+1$ 個のメモリセルのアドレス選択用MOSFETのゲートは、対応するワード線に結合される。各ワード線は、さらにロウアドレスデコードRCDに結合され、Xアドレス番号AX0-AX1に指定される一本のワード線が選択・指定される。

ロウアドレスデコードRCDは、ロウアドレスバッファRAMDBから供給される相補内部アドレス番号 $\bar{u}=0-\bar{u}=1$ （ここで、例えば外部から供給されるXアドレス番号AX0と同相の内部アドレス番号 $\bar{u}=0$ と正相の内部アドレス番号 $\bar{u}=0$ を合わせて相補内部アドレス番号 $\bar{u}=0$ のようにする。以下同じ）をデコードし、Xアドレス番号AX0-AX1に指定される一本のワード線を選択し、ハイレベルの選択状態とする。ロウアドレ

スデコードRCDによるワード線の選択動作は、タイミング制御回路TCから供給されるワード線選択タイミング信号 $\phi_w$ に従って行われる。

ロウアドレスバッファRAMDBは、アドレスマルチプレクサMXから供給されるロウアドレス信号を受け、相補内部アドレス番号 $\bar{u}=0-\bar{u}=1$ を形成して、ロウアドレスデコードRCDに供給する。この実施例のダイナミック型RAMでは、ロウアドレスを指定するためのXアドレス番号AX0-AX1とカラムアドレスを指定するためのYアドレス番号AY0-AY1は、同一の外部端子A0-A1を介して時分割されて供給されるいわゆるアドレスマルチプレクス方式を採っている。したがって、外部から制御信号として供給されるロウアドレスストローブ信号RASの立ち下がりと同時にXアドレス番号AX0-AX1が、またカラムアドレスストローブ信号CASの立ち下がりと同時にYアドレス番号AY0-AY1がそれぞれ外部端子A0-A1に供給される。さらに、この実施例のダイナミック型RAMには、メ

モリセルの記憶データを所定の周期内に読み出し、書き込みするための自動リフレッシュモードが設けられ、この自動リフレッシュモードにおいてリフレッシュすべきワード線を指定するためのリフレッシュアドレスカウンタREFCが設けられる。

アドレスマルチプレクサMXは、タイミング制御回路TCから供給されるタイミング信号 $\phi_{rel}$ に従って、外部端子A0-A1を介して供給されるXアドレス番号AX0-AX1とリフレッシュアドレスカウンタREFCから供給されるリフレッシュアドレス番号 $\bar{e}=0-\bar{e}=1$ を選択し、ロウアドレス信号としてロウアドレスバッファRAMDBに伝達する。すなわち、タイミング信号 $\phi_{rel}$ がロウレベルとされる通常のメモリアクセスモードにおいて、外部端子A0-A1を介して外部の記憶から供給されるXアドレス番号AX0-AX1を選択し、タイミング信号 $\phi_{rel}$ がハイレベルとされる自動リフレッシュモードにおいて、リフレッシュアドレスカウンタREFCから出力

特開昭63-239676 (5)

されるラフレックムアドレス信号 $\alpha+1$ ～ $\alpha+1$ を選択する。

前述のように、メモリアレイムアドレス $\alpha+1$ はラフレックムアドレス信号 $\alpha+1$ の立ち下がり同期して外部端子 $\alpha+1$ に供給されるため、ラフレックムバッファRADBによるラフレックム信号の取り込みは、タイミング制御回路TCにおいてラフレックムアドレス $\alpha+1$ の立ち下がりを検出して形成されるタイミング信号 $\phi$ に従って行われる。

一方、メモリアレイム-ARRAYの同一の列に位置されるメモリアレイムのアドレス選択用MOSFETのドレインは、対応する相補データ線に結合される。メモリアレイム-ARRAYの各相補データ線は、その一方において、カラムスイッチCSW1の対応するスイッチMOSFETに結合され、さらに選択的に相補共通データ線 $\alpha+1$ （ここで、相補共通データ線の非反転信号線CD1及び反転信号線 $\overline{CD1}$ をそれぞれ相補共通データ線 $\alpha+1$ と $\overline{\alpha+1}$ と表す）に接続される。

カラムスイッチCSW1は、それぞれ対応する相補データ線に結合される $\alpha+1$ 列のスイッチMOSFETによって構成される。これらのスイッチMOSFETの他方の端子は、相補共通データ線を構成する非反転信号線CD1又は反転信号線 $\overline{CD1}$ に共通に結合される。これにより、カラムスイッチCSW1は $\alpha+1$ 列の相補データと共通相補データ線 $\alpha+1$ とを選択的に接続させる。カラムスイッチCSW1を構成する各列の二つのスイッチMOSFETのゲートはそれぞれ共通駆動され、ランダム・アクセス・ポート用カラムアドレスデコーダRCDによって形成されるデータ線選択信号がそれぞれ供給される。

ランダム・アクセス・ポート用カラムアドレスデコーダRCDは、カラムアドレスバッファCADBから供給される相補内部アドレス信号 $\alpha+1$ ～ $\alpha+1$ をデコードし、タイミング制御回路TCから供給されるデータ線選択タイミング信号 $\phi$ に従って、上記データ線選択信号を形成し、カラムスイッチCSW1～CSW $\alpha+1$ に供給する。

カラムアドレスバッファCADBは、タイミング制御回路TCにおいてカラムアドレス信号 $\alpha+1$ の立ち下がりを検出して形成される対応する信号 $\phi$ に従って、外部端子 $\alpha+1$ を介して供給されるメモリアレイムアドレス $\alpha+1$ を入力し、保持するとともに、相補内部アドレス信号 $\alpha+1$ ～ $\alpha+1$ を形成してランダム・アクセス・ポート用カラムアドレスデコーダRCDに供給する。

メモリアレイム-ARRAYの各相補データ線は、その他方において、センスアンプSA1の対応する単位回路に結合され、さらにシリアル・アクセス・ポートのデータレジスタDR1の対応する単位回路に結合される。

センスアンプSA1の各単位回路は、交叉接続される二つのCMOSインバータ回路からなるラッチをその基本構成とする。これらのセンスアンプ単位回路は、タイミング制御回路TCから供給されるタイミング信号 $\phi$ によって動作状態とされ、各メモリアレイムから対応する相補データ線に出

力される微小読み出し信号を増幅し、ハイレベル/ロウレベルの2値信号とする。

メモリアレイムアドレス $\alpha+1$ に指定される相補データ線が選択的に接続される相補共通データ線 $\alpha+1$ は、ランダム・アクセス・ポート用入出力回路RIOに結合される。このランダム・アクセス・ポート用入出力回路RIOには、メモリアレイム-ARRAY2～M-ARRAY4に対応して受けられる相補共通データ線 $\alpha+1$ ～ $\alpha+1$ が同時に結合される。

ランダム入出力回路RIOは、デュアル・ポート・メモリのランダム・アクセス・ポート読み込み動作モードにおいて、タイミング制御回路TCから供給されるタイミング信号 $\phi$ によって動作状態とされ、入出力端子IO1～IO4を介して外部の装置から供給される読み込みデータを相補読み込み信号とし、相補共通データ線 $\alpha+1$ ～ $\alpha+1$ に伝達する。また、デュアル・ポート・メモリのランダム・アクセス・ポート読み出し動作モードにおいて、タイミング制御回路TCから供給

されるタイミング信号によって動作状態とされる。相補共通データ線D01~D04を介して伝送されるメモリの読み出し2値信号をさらに増幅し、入出力端子101~104から送出する。さらに、このランダム入出力回路R10には、特に制限されないが、リード・モディファイ・ライク機能を用いて、メモリアルから読み出したデータと入力データとの間で逐々の演算を行い再度書き込むための論理演算回路が設けられる。この論理演算回路には、ラスタ演算等の処理を行うための各種の演算モードが用意される。

論理演算回路の演算モードは、図示制御回路PCによって決定される。図示制御回路PCは、外部端子A0~A3を介して供給される演算コードを保持するためのレジスタと、その演算コードをデコードし論理演算回路の演算モードを選択・指定するためのデコードを含む。演算コードは、カムアドレスストロープ信号CASがロウアドレスストロープ信号RASに先立ってロウレベルとされ、同時にライトイネーブル信号WEがロウレ

ベルとされる組み合わせにおいて、外部端子A0~A3を介してデュアル・ポート・メモリに供給される。また、演算コードの特定の組み合わせは、伝送するシリアル入出力回路S10の出力をいわゆる1ビット構成とするための内部制御信号、 $\phi$ として用いられる。

データ入出力用外部端子101~104には、伝送するように、デュアル・ポート・メモリのシリアル読み出し動作モードにおいて、伝送後シリアル出力動作を開始するまでの間のシリアルクロック信号SCのサイクル数が入力される。これにより、この実施例のデュアル・ポート・メモリは、伝送後シリアル出力動作を開始するタイミングを任意に設定することができ、高速フットレートに対応して短い周期とされるシリアルクロック信号SCに安定して同期化されたシリアル出力動作を行うことができる。データ入出力用外部端子101~104に入力されるサイクル数は、内部信号101~104として、タイミング制御回路TCに送られる。

一方、この実施例のデュアル・ポート・メモリのシリアル・アクセス・ポートは、各メモリアレイの相補データ線に対応して設けられる $\phi+1$ ビットのデータレジスタDR1~DR4と、データセレクトDSL1~DSL4及びこれらの4つのデータレジスタとデータセレクトに共通に設けられるポインタPNT、シリアル・アクセス・ポート用カムアドレスデコードSCD及びシリアル入出力回路S10によって構成される。なお、ポインタPNT及びシリアル・アクセス・ポート用カムアドレスデコードSCDは、半導体基板におけるメモリアレイの配置の図形で位置図設けられることもある。

データレジスタDR1は、メモリアレイM-A、RY1の各相補データ線に対応して設けられるデータラッチ用の $\phi+1$ 個のフリップフロップを含む。これらのフリップフロップの入出力ノードと対応する相補データ線の乗反転信号線及び反転信号線の間には、データ伝送用のスイッチMOSFETがそれぞれ設けられ、そのゲートにはタイミ

ング制御回路TCからデータ伝送用のタイミング信号 $\phi$ が供給される。

データレジスタDR1の各ビットは、さらにデータセレクトDSL1の対応するスイッチMOSFETに結合される。データセレクトDSL1は、上述のカムスイッチCSW1と同様な構成とされ、データレジスタDR1の各ビットとシリアル入出力用相補共通データ線D01を逐次的に接続する。データセレクトDSL1の各列のスイッチMOSFETのゲートはそれぞれ共通接続され、ポインタPNTからレジスタ選択信号が供給される。

ポインタPNTは、シリアル・アクセス・ポート用カムアドレスデコードSCDによって決定されるシリアル動作開始ビットを保持するラッチ回路（ポインタラッチ）と、 $\phi+1$ ビットのシフトレジスタ及びこれらの間に設けられるNチャンネルMOSFETからなるスイッチ回路とにより構成される。シフトレジスタの最終ビットの出力端子 $\phi$ はその先端ビットの入力端子に結合され

る。また、これらのスイッチMOSFETのゲートには、上記タイミング信号φ<sub>61</sub>が共通に供給される。ポインタPNTのシフトレジスタは、デューアル・ポート・メモリのシリアル入出力モードにおいて、タイミング制御回路TCから供給されるシフトクロック用タイミング信号φ<sub>62</sub>に従って、ループ状のシフト動作を行う。ポインタラッチ回路に保持された選択信号は、タイミング信号φ<sub>61</sub>がハイレベルとされることによって、シフトレジスタの初期値として供給される。

シリアル・アクセス・ポート用カラムアドレスデコーダSCDは、カラムアドレスバッファCA D Bから供給される相補内部アドレス信号A<sub>10</sub>～A<sub>11</sub>をデコードし、Yアドレス信号AY<sub>0</sub>～AY<sub>1</sub>で指定されるシリアル入出力の先頭ビットに対応するポインタPNTのビットのみを論理"1"とする。すなわち、シリアル入出力モードにおいては、Xアドレス信号AX<sub>0</sub>～AX<sub>1</sub>によってワードが選択され、Yアドレス信号AY<sub>0</sub>～AY<sub>1</sub>によってシリアル入出力するべき先のカ

ラムアドレスが指定される。シリアル・アクセス・ポート用カラムアドレスデコーダSCDによってポインタPNTの指定されたビットに書き込まれた論理"1"の信号は、タイミング信号φ<sub>62</sub>に従ってポインタPNT内をループ状にシフトされる。この論理"1"の信号がシフトされることによって、データセレクタDS<sub>1</sub>には順次ハイレベルのレジスタ選択信号が供給され、データレジスタDR<sub>1</sub>の各ビットが順次にシリアル入出力用相補共通データ線CDS<sub>1</sub>に接続される。これにより、この実施例のデューアル・ポート・メモリの記憶データのシリアル入出力を任意のカラムアドレスから開始することができ、例えば記憶メモリにおけるスクロール処理等を高速化することができる。

以上のことから、デューアル・ポート・メモリのシリアル読み出し動作モードにおいて、メモリアレイム-A<sub>12</sub>Y<sub>1</sub>の0～11番の相補データ線から出力される0～11ビットの読み出しデータは、タイミング信号φ<sub>61</sub>がハイレベルとされることによって

データレジスタDR<sub>1</sub>に取り込まれる。同時にポインタPNTでは、タイミング信号φ<sub>61</sub>のハイレベルによってポインタラッチに保持される選択信号がシフトレジスタに初期値として転送される。読み出しデータは、ポインタPNTから順次に送られるレジスタ選択信号に従って、シリアル入出力用相補共通データ線CDS<sub>1</sub>を介してシリアル入出力回路S<sub>10</sub>に送られる。一方、デューアル・ポート・メモリのシリアル書き込み動作モードにおいて、シリアル入出力端子S<sub>10</sub>からシリアル入出力回路S<sub>10</sub>を介してシリアルに入力される書き込みデータは、ポインタPNTから順次に送られるレジスタ選択信号に従って、データレジスタDR<sub>1</sub>の対応するビットに順次入力される。データレジスタDR<sub>1</sub>に保持された書き込みデータは、タイミング信号φ<sub>61</sub>がハイレベルとされることによって、メモリアレイム-A<sub>12</sub>Y<sub>1</sub>の選択されたワード線に結合される0～11番のメモリセルに一方に書き込まれる。

シリアル入出力回路S<sub>10</sub>は、シリアル入出力

用相補共通データ線CDS<sub>1</sub>～CDS<sub>4</sub>及びシリアル入出力端子S<sub>10</sub>～S<sub>10</sub>4に対応して設けられる4つのメインアンプとデータ入力バッファ及びデータ出力バッファを含む。シリアル入出力回路S<sub>10</sub>のデータ出力バッファは、デューアル・ポート・メモリの読み出しデータ転送モードにおいて、タイミング制御回路TCから供給されるタイミング信号φ<sub>61</sub>のハイレベルによって動作状態とされ、対応するシリアル入出力用相補共通データ線CDS<sub>1</sub>～CDS<sub>4</sub>を介して出力され対応するメインアンプによって増幅される読み出しデータを、シリアル入出力端子S<sub>10</sub>～S<sub>10</sub>4から外部の装置に出力する。また、シリアル入出力回路S<sub>10</sub>のデータ入力バッファは、デューアル・ポート・メモリのシリアル書き込み動作モードにおいて、タイミング制御回路TCから供給されるタイミング信号φ<sub>61</sub>のハイレベルによって動作状態とされ、対応するシリアル入出力端子S<sub>10</sub>～S<sub>10</sub>4を介して外部の装置から供給される書き込みデータを相補書き込み信号とし、対応す

るシリアル入出力用相補共通データ線D31~D34に伝送する。シリアル入出力回路510の記憶データにおけるシリアル入出力動作は、タイミング制御回路TCにおいて外部から供給されるシリアルクロック信号SCをもとに形成されるタイミング信号φ<sub>i</sub>に従って行われる。

この実施例のデュアル・ポート・メモリでは、通常のシリアル入出力回路510のシリアル出力信号は、上記のように1つのシリアル入出力端子S101~S104を介して1ビット同時に出力される。しかし、さらに記憶容量の大きなシリアルメモリを実現したい場合、このデュアル・ポート・メモリを、1つのメモリアレイM-ARRAY1~M-ARRAY4から出力される読み出しデータを一つのシリアル入出力端子を介してシリアルに出力するいわゆる×1ビット構成のメモリとして用いることができる。この場合、前述のように、ランダム入出力回路R10の記憶検索回路の検索モードを制御するための検索コードの読み合わせの一つが、シリアル出力を×1ビット構成とするため

の内部制御信号φ<sub>0</sub>とされる。シリアル入出力回路510は、記憶制御回路FCから供給される内部制御信号φ<sub>0</sub>がハイレベルになると、1回のシリアル入出力用相補共通データ線D31~D34を介してそれぞれシリアルに出力される読み出しデータを、シリアル入出力回路510内に設けられるマルチプレクサによって順次選択し、一つのシリアル入出力端子S101を介して外部の装置に出力する。このシリアル出力は、タイミング制御回路TCから供給されるタイミング信号φ<sub>i</sub>に従って行われるため、1つのシリアル入出力端子S101~S104によって同時に1ビットのシリアル出力が行われる場合の各入出力端子のデータレートと同じデータレートとなる。

タイミング制御回路TCは、外部から制御信号として供給されるロウアドレスストローブ信号RAS、カラムアドレスストローブ信号CAS、ライトイネーブル信号WE、データ伝送制御信号DT/DE及びシリアル出力制御信号SDEによって、上記各信号のタイミング信号を形成し、各回路

に供給する。また、外部から供給されるシリアルクロック信号SCにより、シリアル入出力動作を同期化するためのタイミング信号φ<sub>i</sub>を形成し、シリアル入出力回路510に供給する。

各制御信号が適宜読み合わせとされることで、デュアル・ポート・メモリの動作モードが決定される。例えば、まずロウアドレスストローブ信号RASがロウレベルとなり、続いてカラムアドレスストローブ信号CASがロウレベルとなる時点でライトイネーブル信号WEがハイレベルであると、通常のランダム・アクセス・ポートの読み出し動作モードとされる。ロウアドレスストローブ信号RASがロウレベルとなり、続いてカラムアドレスストローブ信号CASがロウレベルとなる時点でライトイネーブル信号WEがロウレベルである場合、通常のランダム・アクセス・ポートの書き込み動作モードあるいは読み書き込み動作モードとされる。さらに、ロウアドレスストローブ信号RASの立ち下がり時点でライトイネーブル信号WEがハイレベルでありデータ伝送制御信号

DT/DEがロウレベルの場合、メモリアレイの読み出しデータをデータレジスタDR1~DR4に伝送しいわゆるシリアル読み出しを行うための読み出しデータ伝送モードとされる。

前述のように、この実施例のデュアル・ポート・メモリの読み出しデータ伝送モードでは、ロウアドレスストローブ信号RASのロウレベルへの立ち下がりに同期して、データ入出力用外部端子101~104に逐次順次のシリアル読み出しデータのデータ伝送動作を開始するまでのシリアルクロック信号SCのサイクル数が決定される。このため、タイミング制御回路TCには、データ入出力端子101~104を介して入力されるサイクル数を取り込み、シリアルクロック信号SCに従ってカウントダウンするためのカウンタ回路CTRが設けられる。各データ線に出力された読み出しデータは、タイミング制御回路TCのカウンタ回路CTRの計数値が"0"となることによって形成されるタイミング信号φ<sub>0i</sub>によってデータレジスタDR1~DR4に伝送され、さらにタイ

（シグナル）によってシリアル入出力回路310からシリアル入出力端子3101〜3104を介して外部に出力される。

次に、タイミング制御回路TCは、ロウアドレスストローブ信号RASの立ち上がり時点でデータ伝送制御信号DT/DEとともにライトイネーブル信号WEがロウレベルでありかつシリアル入出力制御信号OEがハイレベルの場合は、デュアル・ポート・メモリをシリアル書き込み動作モードとし、シリアル入出力端子3101〜3104を介して供給されるシリアル書き込みデータがデータレジスタDR1〜DR4に入力される。また、ロウアドレスストローブ信号RASの立ち上がり時点でデータ伝送制御信号DT/DEとともにライトイネーブル信号WEがロウレベルでありかつシリアル入出力制御信号OEがロウレベルの場合は、書き込みデータ伝送モードとされ、伝送用タイミング信号が形成される。これにより、データレジスタDR1〜DR4の伝送用スイッチMOSFETがオン状態とされて、上記シ

リアル書き込み動作モードによってデータレジスタDR1〜DR4にセットされた書き込みデータがメモリアレイの選択されたワードに結合される。1ビットのメモリアルに逐次入力される。デュアル・ポート・メモリのシリアル・アクセス・モードを用いたシリアル書き込み動作は、上記のシリアル書き込み動作モードを実行した後、書き込みデータ伝送モードを組み合わせて実行することによって、実現される。

一方、ロウアドレスストローブ信号RASの立ち下がりに先立って、カラムアドレスストローブ信号CASがハイレベルからロウレベルに変化される場合、いわゆるCASビフトRASリフレックモードとされる。また、ロウアドレスストローブ信号RASの立ち上がり時点でライトイネーブル信号WEがロウレベルであると、演算モード設定タイクルとされ、外部端子A0〜A3を介して供給される演算コードが抽選制御回路FC内のレジスタに取り込まれる。

上記演算モード設定タイクルを越える動作モ

ードにおいては、ロウアドレスストローブ信号RASの立ち下がりに同期して、ワードを指定するためのXアドレス信号AX0〜AX1が外部端子A0〜A1に供給され、またカラムアドレスが必要な動作モードにおいては、カラムアドレスストローブ信号CASの立ち下がりに同期して、相違データを指定するためのYアドレス信号AY0〜AY1が外部端子A0〜A1に供給される。

第1図には、第2図のデュアル・ポート・メモリにおけるタイミング制御回路TCの一部の一例の回路図が示されている。

前述のように、この実施例のデュアル・ポート・メモリでは、データ入出力用外部端子101〜104を介して、ロウアドレスストローブ信号RASがロウレベルとなりデュアル・ポート・メモリが起動してから読み出しデータのデータ伝送動作が開始されるまでのシリアルクロック信号SCのタイクル数が2進表示により指定される。これらのタイクル数は、内部データ1.0〜1.4としてタイミング制御回路TCのカウント回路C

TRの対応するビットに供給される。

カウント回路CTRには、タイミング制御回路TC内に設けられる他のタイミング発生回路から、ロウアドレスストローブ信号RASの立ち下がりに同期して形成されるタイミング信号が供給される。また、同図のタイミング制御回路TC内で形成される歩進用のタイミング信号が供給される。

カウント回路CTRの各ビットの反転出力信号C1〜C5は、アンドゲート回路AG1の1つの入力端子にそれぞれ入力される。アンドゲート回路AG1の出力信号C1r0は、カウント回路CTRの反転出力信号C1〜C5がすべて論理“0”すなわちカウント回路CTRの計数値が“0”であるときハイレベルとされる。

アンドゲート回路AG1の出力信号C1r0は、ナンドゲート回路NAG1の一方の入力端子に供給されるとともに、インバータ回路NJにより反転され、アンドゲート回路AG2の一方の入力端子に供給される。ナンドゲート回路NAG1の他

方の入力端子には、ロウアドレスストローブ信号  $\overline{RAS}$  のハイレベルからロウレベルへの立ち下がりにおいて、カラムアドレスストローブ信号  $\overline{CAS}$  とブライトイネーブル信号  $\overline{WE}$  がハイレベルとされかつデータ伝送制御信号  $\overline{DQ}$  /  $\overline{OE}$  がロウレベルとされることでセットされる図示されないフリップフロップの出力信号  $\phi$  が、適当な遅延手段（例えば図4のインバート回路）D を介して供給される。つまり、このフリップフロップの出力信号  $\phi$  は、デューアル・ポート・メモリの読み出しデータ伝送タイタラを指定するためのモード信号として用いられる。これにより、ナンフゲート回路NAG1の出力信号は、ナンフゲート回路AG1の出力信号  $\phi$  とモード信号  $\phi$  がハイレベルである時にロウレベルとなる。ナンフゲート回路NAG1の出力信号は、一方において、適当な遅延手段Dによって遅延させらるにインバート回路N4によって反転された後、ノフゲート回路NOC1の一方の入力端子に入力される。また、ナンフゲート回路NAG1の出力信号

は、他方において、そのまゝノフゲート回路NOC1の他方の入力端子に入力される。ノフゲート回路NOC1の出力信号は、タイミグ信号  $\phi$  としてタイミングPNTに供給される。つまり、このタイミグ信号  $\phi$  は、モード信号  $\phi$  がハイレベルとされるデューアル・ポート・メモリの読み出しデータ伝送モードにおいて、ナンフゲート回路AG1の出力信号  $\phi$  がハイレベルとされるとき、所定の期間だけ一時的にハイレベルとされるものとなる。

一方、ナンフゲート回路AG2の他方の入力端子には、インバート回路N1及びN2を介してシリアルクロック信号SCが供給される。これにより、ナンフゲート回路AG2の出力信号は、ナンフゲート回路AG1の出力信号  $\phi$  がロウレベルでインバート回路N3の出力信号がハイレベルすなわちカウンタ回路CTRの計数値が“0”でなく、シリアルクロック信号SCがハイレベルであるときに、ハイレベルとなる。つまり、ナンフゲート回路AG2の出力信号は、カウンタ回路

CTRの計数値が“0”に達するまでカウンタ回路CTRをカウントダウンさせるための経過用タイミグ信号  $\phi$  となる。また、インバート回路N1及びN2を通過したシリアルクロック信号SCは、タイミグ信号  $\phi$  となる。

第3図には、第4図のタイミグ制御回路TCを含むデューアル・ポート・メモリの読み出しデータ伝送モードにおける動作を説明するための一実施例のタイミグ図が示されている。この図により、この実施例のデューアル・ポート・メモリの読み出し伝送モードの概要を説明する。

第3図において、このデューアル・ポート・メモリは、ロウアドレスストローブ信号  $\overline{RAS}$  がハイレベルからロウレベルに変化されることによって起動される。このロウアドレスストローブ信号  $\overline{RAS}$  の立ち下がりに先立って、カラムアドレスストローブ信号  $\overline{CAS}$  とブライトイネーブル信号  $\overline{WE}$  がハイレベルとされ、データ伝送制御信号  $\overline{DQ}$  /  $\overline{OE}$  がロウレベルとされる。また、外部端子A0～A1にはワード線を指定するためのXアドレ

ス信号AX0～AX1が供給され、データ入出力用外部端子I01～I04にはロウアドレスストローブ信号  $\overline{RAS}$  の立ち下がりが読み出しデータのシリアル出力動作を開始するまでのシリアルクロック信号SCのタイタラ  $\phi$  が供給される。

このタイタラ  $\phi$  は、デューアル・ポート・メモリの外部に設けられるメモリ制御回路に含まれCTRの水平位置位置を制御するためのカウンタ回路の計数値によって決定される。すなわち、1ワード単位の読み出しデータの基底ビットに対応する計数値をN1とし、ロウアドレスストローブ信号  $\overline{RAS}$  を立ち下げる時点での計数値をN2とすると、タイタラ  $\phi$  は、

$$\phi = N1 - N2$$

として求められる。このタイタラ  $\phi$  は、以上の式を満たし、かつデューアル・ポート・メモリのランダム・アクセス・モードにおいて読み出しデータが確立されるまでの時間を短くする間隔で、適当な値に決定される。

ロウアドレスストローブ信号RASの立ち下がりにより、カラムアドレスストローブ信号CASがハイレベルからロウレベルに変化される。このカラムアドレスストローブ信号CASの立ち下がりによって、外部端子A0-A1には、シリアル出力動作において最初に出力するデータワードのアドレスがYアドレス信号AY0-AY1として供給される。ロウアドレスストローブ信号RAS、カラムアドレスストローブ信号CAS、ライトエナブル信号WE及びデータ拡張制御信号DT/OEは、カウンタ回路CTRの計数値が"0"となりシリアル出力動作が開始された後、ハイレベルに戻る。

デュアル・ポート・メモリでは、ロウアドレスストローブ信号RASの立ち下がりによって、Xアドレス信号AX0-AX1がロウアドレスバッファRA0-Bに取り込まれ、ワーフ線の選択動作が行われる。また、ロウアドレスストローブ信号RASの立ち下がりによってモード信号φmがハイレベルになるとともにタイミング信号φcs

が形成され、データ入出力用外部端子IO1-IO4に供給されるタイタム値φ1φ0がカウンタ回路CTRに取り込まれる。これにより、カウンタ回路CTRの出力は"0"以外の数値となり、第1図のANDゲート回路AG1の出力信号φ1φ0はロウレベルとされる。このANDゲート回路AG1の出力信号のロウレベルすなわちインバータ回路N3の出力信号のハイレベルにより、ANDゲート回路AG2の出力信号すなわちカウンタ回路CTRの経過時間タイミング信号φcsが形成される。カウンタ回路CTRは、このタイミング信号φcsの立ち下がりによって、取り込まれたタイタム値φ1φ0から"0"に向かってカウントダウンを開始する。

カウンタ回路CTRによるシリアルクロック信号SCのカウントダウンが行われている間に、デュアル・ポート・メモリではワーフ線の選択動作が終了し、選択されたワーフ線に結合されるメモリセルからの読み出しデータがそれぞれ対応する相補データ線上に成立される。また、

カラムアドレスストローブ信号CASの立ち下がりによって、Yアドレス信号AY0-AY1が取り込まれ、シリアル・アクセス・ポート用カラムアドレスデコードSDCによるデータ線選択動作が開始される。このシリアル・アクセス・ポート用カラムアドレスデコードSCDによるデコード処理が終了するタイミングで、タイミング信号φcsが形成され、メインメモリPNTのYアドレス信号AY0-AY1に対応するビットに論理"1"がセットされる。

カウンタ回路CTRによるカウントダウンが進み、その計数値が"0"になると、ANDゲート回路AG1の出力信号φ1φ0がハイレベルとされる。これにより、まずインバータ回路N3の出力信号がロウレベルとなり、カウンタ回路CTRの経過時間タイミング信号φcsは停止される。また、タイミング信号φcsが形成され、各データ線に成立された読み出しデータがデータレジスタDR1-DR4に転送される。また、タイミング信号φcsが、シリアル入出力回路SIOのデータ出力バ

ッファDOBを制御するシリアル出力制御信号SOEに同期して形成される。

タイミング信号φ1φ0のハイレベルにより、シリアル入出力端子SIO1-SIO4はハイインピーダンス状態HからYアドレス信号AY0-AY1によって指定される先頭アドレスの読み出しデータに結合したレベルとされる。これにより、読み出しデータの出力動作が開始される。

タイミング制御回路TCでは、モード信号φm及びANDゲート回路AG1の出力信号φ1φ0のハイレベルによって、シリアルクロック信号SCに同期したシフト用タイミング信号φcsが形成され、シリアル入出力回路SIO及びメインメモリPNTに供給される。これにより、シリアル・アクセス・ポート用カラムアドレスデコードSCDの選択動作によりメインメモリPNTのYアドレス信号AY0-AY1に対応するビットにセットされた論理"1"の信号はループ状にシフトされ、データレジスタDR1-DR4に保持された読み出しデータが、シリアル入出力用相補共通データ線

CDS1-CDS4及びシリアル入出力回路310を介してシリアル入出力端子3101-3104に出力される。タイミング信号φ<sub>c</sub>によるタイミングPNTのソフト動作は、タイミング信号φ<sub>c</sub>のロウレベルからハイレベルへの立ち上がりと同時に実行される。また、タイミングPNTにおいて、タイミング信号φ<sub>c</sub>の先頭パルスは無視され、先頭データの出力時間幅が確保される。

タイミング信号φ<sub>c</sub>による読み出しデータのシリアル出力動作が進み、先頭の読み出しデータの出力が終了すると、シリアル出力制御信号305がハイレベルに戻される。このシリアル出力制御信号305のハイレベルによって、モード信号φ<sub>m</sub>がロウレベルとされ、シリアル出力用のタイミング信号φ<sub>c</sub>がシリアルクロック信号303の立ち上がりと同時にロウレベルとされる。これにより、デュアル・ポート・メモリのシリアル出力動作は停止され、シリアル入出力端子3101-3104はハイインピーダンス状態とされる。

以上のように、この実施例のデュアル・ポート

・メモリでは、読み出しデータ転送モードにおいて、ロウアドレスストローブ信号RA<sub>S</sub>の立ち下がりと同時に、ロウアドレスストローブ信号RA<sub>S</sub>の立ち上がりから読み出しデータのシリアル出力動作を開始するまでの間のシリアルクロック信号SCのタイクル数*count*が指定される。このタイクル数*count*は、タイミング制御回路TCに送りられるカウンタ回路CTRに初期セットされ、カウンタダウンが行われる。カウンタ回路CTRによるカウンタダウンが終了し、その計数値が"0"になった時点で、読み出しデータのシリアル出力動作が開始される。このため、外部に送りられるCTRが再初期化され、表示データのビットレートが非常に高速化されているにもかかわらず、シリアルクロック信号SCとCTRのスキューピングに確実に同期してデュアル・ポート・メモリのシリアル出力動作が行われ、安定した表示画像を得ることができるものである。

以上の本実施例に示されるように、この発明を直接処理用メモリとして用いられるデュアル・ポ

ート・メモリの半導体記憶装置に適用した場合、次のような効果を得られる。すなわち、

①デュアル・ポート・メモリの読み出しデータ転送モードにおいて、起動制御信号に同期して、起動時から読み出しデータのシリアル出力動作を開始するまでの間のシリアルクロック信号のタイクル数を指定し、タイミング制御回路TCに送りられるカウンタ回路によってカウンタダウンすること、シリアルクロック信号に同期し安定したタイミングで読み出しデータのシリアル出力動作を開始することができるという効果が得られる。

②上記①項により、外部に送りられるCTRが再初期化され、表示データのビットレートが非常に高速化されているにもかかわらず、シリアルクロック信号SC及びCTRのスキューピングに確実に同期して読み出しデータのリアルタイム転送を行うことができる。安定した表示画像を得ることができるという効果が得られる。

以上本発明者によってなされた発明を具体例に基づき具体的に説明したが、この発明に上記具体

例に限定されるものではなく、その要旨を逸脱しない範囲で種々変更可能であることはいうまでもない。例えば、第1図のタイミング制御回路TCでは、カウンタ回路CTRをカウンタダウンすることによってタイミング整合を行っているが、外部から供給されるシリアルクロック信号SCのタイクル数*count*をレジスタに保持するとともにカウンタ回路CTRをカウンタアップさせ、カウンタ回路CTRの出力とレジスタにセットされるタイクル数*count*とが一致したときにシリアル出力動作を開始させるようにしてもよい。また、タイクル数*count*をデコードし、別途送りられるシフトレジスタの対応するビットに論理"1"をセットした後、シリアルクロック信号SCによってシフトレジスタをシフトさせ、この論理"1"が所定の位置に達したことによってシリアル出力動作を開始させる方法もよい。この実施例では、タイクル数*count*をロウアドレスストローブ信号RA<sub>S</sub>の立ち下がりと同時に供給しているが、ラムアドレスストローブ信号CA<sub>S</sub>の立ち下がり

りに同期して供給するものであってもよい。さらに、第1図のデューアル・ポート・メモリは、一つのメモリアレイにより構成されるものであってもよいし、ランダム・アクセス・ポートの入出力回路RIOに論理演算回路を設けなくとも、そのブロック構成や制御信号の組み合わせ等、種々の実施形態を採りうるものである。

以上の説明では主として本発明者によってなされた発明をその背景となった利用分野であるデューアル・ポート・メモリに適用した場合について説明したが、それに限定されるものではなく、例えばシリアル入出力回路を持つ他の各種のマルチ・ポート・メモリにも適用できる。本発明は、少なくともそのシリアル出力動作が外部から供給される制御信号及びクロック信号によって制御される半導体記憶装置には適用できる。

#### (発明の効果)

本題において図示される発明のうち代表的なものによって得られる効果を簡単に説明すれば、次のとおりである。すなわち、デューアル・ポート・

メモリの読み出しデータ伝送モードにおいて、起動してから読み出しデータのデータ伝送動作を開始するまでの間のシリアルクロック信号のタイクナル数を指定し、タイリング制御回路TCに設けられるカウンタ回路によってカウントダウンすることと、シリアルクロック信号に同期し安定したタイミングで読み出しデータのシリアル出力動作を開始することができ、表示データのフットレートが高速度化されるにもかかわらず、シリアルクロック信号及びCTRのスケンタイリングに同期した読み出しデータのリアルタイム伝送を行うことができ、安定した表示画像を得ることができものである。

#### 4. 図面の簡単な説明

第1図は、この発明が適用されたデューアル・ポート・メモリのタイリング制御回路の一部の一実施例を示す回路図。

第2図は、第1図のタイリング制御回路を含むデューアル・ポート・メモリの一実施例を示すブロック図。

第3図は、第2図のデューアル・ポート・メモリにおける読み出しデータ伝送モードの一実施例を示すタイミング図。

第4図は、この発明に先立って本発明者等が改良したデューアル・ポート・メモリの読み出しデータ伝送モードを示すタイミング図である。

TC・・・タイリング制御回路、CTR・・・カウンタ回路、AG1～AG2・・・アドレスゲート回路、NAG1・・・ナンドゲート回路、NI～N6・・・インバータ回路。

M-ARY1・・・メモリアレイ、SA1・・・センスアンプ、CSW1・・・カラムスイッチ、RCD・・・ランダム・アクセス・ポート用カラムアドレスデコード、SCD・・・シリアル・アクセス・ポート用カラムアドレスデコード、RADB・・・Rowアドレスバッファ、AMX・・・アドレスマルチプレクサ、CADB・・・カラムアドレスバッファ、REPC・・・リフレクティブアドレスカウンタ、DR1・・・データレジスタ、DSL1・・・データセレクタ、PNT・・・ポ

インタ、RIO・・・ランダム・アクセス・ポート用入出力回路、FC・・・機能制御回路、SIO・・・シリアル・アクセス・ポート用入出力回路。

代理人弁理士

小川 勝男

図 1

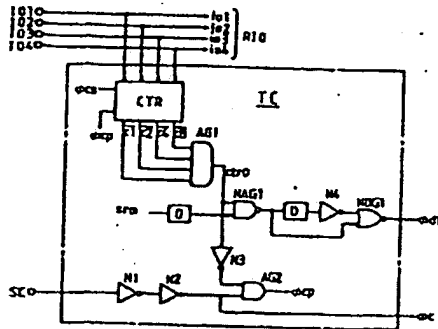


図 2

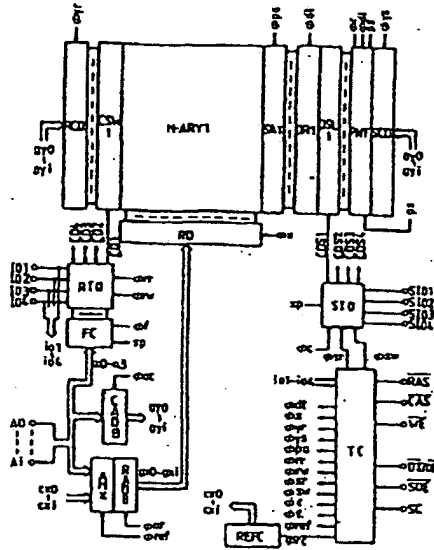


図 3

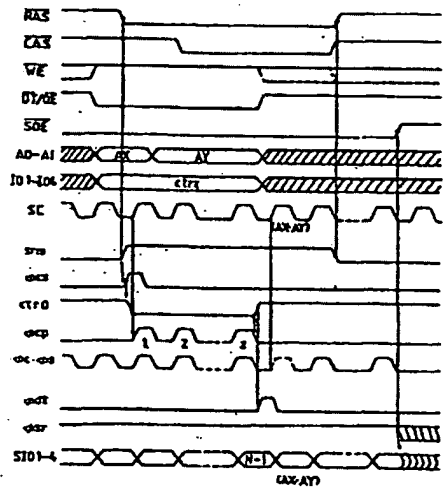
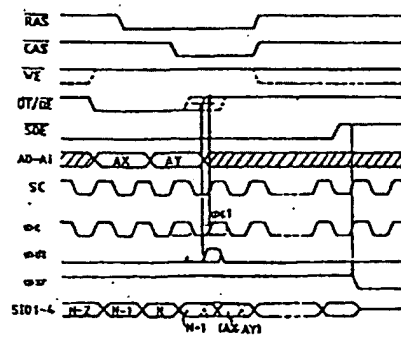


図 4



(19) Japanese Patent Office (JP)

(11) Patent Application Publication

(12) Laid-Open Patent Publication (A) Sho 63-239676

(51) Int. Cl. <sup>2</sup>	Identification Code	Office File No.	(43) Publication: October 5, 1988
G11C 11/34	362	G-8522-5B	

Examination request: Not requested

No. of inventions: 1

(Total of 14 pages)

(54) Title of the Invention: Semiconductor memory device

(21) Patent Application: Sho 62-71428

(22) Application: March 27, 1987

(72) Inventor: Yasunori [N.B. Other readings of first name possible.] Yamaguchi

c/o Hitachi, Ltd., Device Development Center

2326 Imai, Oume-shi, Tokyo

(71) Applicant: Hitachi, Ltd.

4-6 Kanda-surugadai, Chiyoda-ku, Tokyo

(74) Agent: Patent agent Masao [N.B. Other readings of first name possible.] Ogawa and one other

### Specifications

#### 1. Title of the invention

Semiconductor memory device

#### 2. Claims

##### 1. A semiconductor memory device comprising:

a serial-parallel conversion circuit that receives a plurality of read data that is parallelly output over a plurality of data lines constituting a memory array and provides a serial output in accordance with a clock signal from an external source; and

a timing control circuit that controls the serial output operation of the aforesaid serial-parallel conversion circuit; and

characterized by:

the timing for starting the aforesaid serial output operation being set at will by specifying the number of cycles of the aforementioned clock signal required between activation by an activation control signal from an external source and the start of the aforementioned serial output operation.

2. A semiconductor memory device described in claim 1 characterized by the aforesaid timing control circuit comprising:

a counter circuit that obtains the aforesaid number of cycles from an external source in synchrony with the aforementioned activation control signal and then performs a count-down operation in accordance with the aforementioned clock signal; and  
a timing generation circuit which, upon detection of logical "0" for all bits in the output signal of the aforementioned counter circuit, creates an internal clock signal that is used for a serial output operation.

3. A semiconductor memory device described in claim 1 or claim 2 characterized by:

the aforementioned semiconductor memory device being a dual port memory; and  
the aforementioned number of cycles being provided over a plurality of data input/output terminals for random access port use.

### 3. Detailed description of the invention

#### Field of industrial use

The present invention relates to semiconductor memory devices and in particular to an art that is effective, for example, when used with a dual port memory that is used for image processing and possessing both a random input/output function and a serial input/output function.

#### Prior art

A description of a frame buffer memory used with images to display characters, graphics, etc. on a CRT (cathode ray tube) screen is found, for example, in pages 243 through 264 of "Nikkei Electronics" dated March 24, 1986 published by Nikkei McGraw-Hill.

The dual port memory described in the aforesaid literature is provided with a random access port that is used for the input and output of memory data in one-bit units or several-bit units, and a serial access port that is used for the serial input and output of memory data in units of word lines in a memory array.

#### Problems to be solved with the present invention

As Fig. 4 shows, a dual port memory such as the above is provided with, as external control signals, row address strobe signal  $\overline{RAS}$ , column address strobe signal  $\overline{CAS}$  and write enable signal  $\overline{WE}$  and additionally, for example, data transfer control signal  $\overline{DT/OE}$ , serial output control signal  $\overline{SOE}$  and serial clock signal SC. With a dual port memory, the read data transfer mode - where the read data is serially output - is recognized when the levels of the column address strobe signal  $\overline{CAS}$  and write enable signal  $\overline{WE}$  are high and the level of the data transfer control signal  $\overline{DT/OE}$  is low when the level of the row address strobe signal  $\overline{RAS}$  changes from high to low. At this time, the

address AX of the word line to be read is provided to external terminals A0 through Ai in synchrony with the level of the row address strobe signal  $\overline{\text{RAS}}$  rising to high, and the read signals from the memory cells that are connected to the selected word line are set up in the data lines. Also, in synchrony with the level of the column address strobe signal  $\overline{\text{CAS}}$  falling to low which occurs with a slight delay following the level of the row address strobe signal  $\overline{\text{RAS}}$  becoming low, the address AY of the first column that is to be serially output is supplied to external terminals A0 through Ai.

Thereafter, when the level of the data transfer control signal  $\overline{\text{DT/OE}}$  is set back to high, timing signal  $\phi_{dt}$  is generated -- the timing signal  $\phi_{dt}$  is used to transfer to the data register of the serial access port the read data that had been parallelly output to each of the data lines -- and, along with that, an output operation is begun for the new serial data (data following (AX-AY)) that had been transferred to the data register in accordance with the timing signal  $\phi_c$  which is generated in synchrony with the serial clock signal SC.

After the level of the data transfer control signal  $\overline{\text{DT/OE}}$  is once set to low, the serial output operation begins when the level returns to high. The timing for this is controlled by monitoring the output signal of a counter circuit which counts the horizontal pixel location and which is provided in an external memory control circuit that drives the said dual port memory. To explain, when the output of the read data in the memory cells that are connected to one word line in a dual port memory is near completion, the dual port memory is reactivated and the read data in the memory cells of the new word line is output to the corresponding data lines. Thereafter, the level of the data transfer control signal

$\overline{DT/OE}$  is returned to high while monitoring when the level of the serial clock signal SC becomes low which happens when the value of the counter circuit in the memory control circuit shows the end of the serial output operation for the read data from the memory cells connected to the preceding word line that had been selected. This then causes the read data in the memory cells that are connected to the newly selected word line to be transferred to the data register and initiates a serial output operation. This allows a real time data transfer in synchrony with the CRT's dot rate.

However, improvements in display technology have resulted in the development of high-resolution CRTs which have increased the dot rate that determines the rate at which display data is serially output. This has resulted in a difficulty in maintaining a synchrony between the rising of the level of the data transfer control signal  $\overline{DT/OE}$  and the serial clock signal SC. To explain, as described earlier, the timing for returning the level of the data transfer control signal  $\overline{DT/OE}$  to high is determined by monitoring the output signal of the counter circuit in the memory control circuit. This means that as the delay time involved in advancing the counter circuit using the serial clock signal SC, and the delay time involved in decoding and monitoring the output signal from the counter circuit begin to increase relative to the period of the serial clock signal SC, raising the level of the data transfer control signal  $\overline{DT/OE}$  in synchrony with the serial clock signal SC becomes difficult. As the dotted line in Fig. 4 shows, this results in a timing mismatch between the data transfer control signal  $\overline{DT/OE}$  and the serial clock signal SC, and in particular, a delay in the level of the data transfer control signal  $\overline{DT/OE}$  rising with respect to the rise in the level of the serial clock signal SC. This

then results in shortening the duration of the timing signal  $\phi_{dt}$  which is used for transferring to the data register the read data from the memory cells that are connected to the newly selected word line. This results in an unstable serial data transfer operation and a disruption of the displayed images.

It is the object of the present invention to provide a semiconductor memory device such as a dual port memory with a stable serial data transfer operation.

The aforementioned object and other objects of the present invention and its new features will become apparent from the description in the specification and the attached figures.

#### Means for solving the problems

The following is a brief description of an overview of a representative embodiment among the embodiments disclosed in the present application. To explain, during data transfer in a dual port memory, the timing for starting the transfer of data to the data register is set at will by specifying the number of clock signal cycles required between the activation of the data transfer cycle and the initiation of the transfer operation.

#### Operation

When the data transfer operation is about to start in a dual port memory, the aforesaid means allows the clock signal position where the data transfer operation is to begin to be specified at will in accordance with the counter value of a counter circuit in a memory control circuit. Furthermore, since a count-down counter circuit provided within a dual port memory is used to perform the transfer operation in synchrony with a clock signal, a semiconductor memory device such as a dual port

memory with a stabilized display data transfer operation is realized.

#### Embodiments

Fig. 2 shows a block diagram of one embodiment of a dual port memory where the present invention is applied. The respective circuit blocks shown in the said figure are typically formed on, although not restricted to, a single semiconductor substrate such as a single crystal silicon using semiconductor integrated circuit fabrication technology of the public domain.

The dual port memory of this embodiment is provided with a random access port that is accessed in units of 4 bits and whose basic structural element is a dynamic RAM, and a serial access port where memory data is serially input and output in units of a word line. This allows the dual port memory to engage in a series of serial input/output operations simultaneous with accesses made to the random access port. Also, although not restricted by this, a random input/output circuit RIO that is included in the random access port is provided with a logical operation circuit for performing raster operations, etc. A function control circuit that controls the said logical operation circuit is also provided. The logical operation circuit is provided with various operation functions such as logical multiplication and logical addition, and which operation to perform is specified with a [logical] operation code which is specified by particular combinations of the control signals which are input through external terminals A0 through A3 for the address signals.

The serial access port is provided with a serial input/output circuit SIO. Ordinarily, memory data corresponding to four memory arrays are simultaneously and serially input and output through four serial input/output terminals SIO1 through SIO4. However, a specific combination of [logical] operation codes can be used to specify the use as a memory with a x1 bit configuration wherein read

data that are output from the four memory arrays are alternately output from input/output terminal SIO1.

From an external device, in addition to row address strobe signal  $\overline{\text{RAS}}$ , column address strobe signal  $\overline{\text{CAS}}$ , write enable signal  $\overline{\text{WE}}$  and other control signals which are used in ordinary dynamic RAMs, the dual port memory is provided with data transfer control signal  $\overline{\text{DT}}/\overline{\text{OE}}$  which is used for output control and for controlling the data transfer between the random access port and the serial access port, the serial output control signal  $\overline{\text{SOE}}$  which is used for controlling the switching between input and output operations by the serial access port, and the serial clock signal SC which is used as a synchronization signal during serial input and output operations.

Although not restricted by this, this embodiment of the dual port memory is provided with four memory arrays, M-ARY1 through M-ARY4, and sense amplifiers SA1 through SA4 and column switches CSW1 through CSW4 which correspond to the respective memory arrays. A column address decoder RCD and a row address decoder RD, common to memory arrays M-ARY1 through M-ARY4, are also provided. A plurality of such address decoders may be provided depending on the arrangement of the memory arrays on a semiconductor substrate. Fig. 2 shows memory array M-ARY1 and its peripheral circuitry for illustration purposes.

In Fig. 2, memory array M-ARY1 comprises  $(m + 1)$  word lines that are arranged in a direction perpendicular to the said figure,  $(n + 1)$  sets of complementary data lines arranged in a direction horizontal with the said figure, and  $(m + 1) \times (n + 1)$  pieces of memory cells which are located at the intersections of the said word lines and complementary data lines.

The dynamic memory cells which configure the memory array M-ARY1 are constructed of capacitors for data storage and MOSFETs for address selection. The gates of the MOSFETs for address selection for the  $(n + 1)$  pieces of memory cells that are arranged along the same row are connected to the corresponding word line. Each word line is furthermore connected to the row address decoder RD so that one word line that is specified by the X address signal AX0 through AXi is specified and selected.

The row address decoder RD decodes the complementary internal address signals ax0 through axi (here the internal address signal, for example, ax0 with the same phase and the internal address signal  $\overline{ax0}$  with the opposite phase as the X address signal AX0 that is supplied from an external source are collectively represented as complementary internal address signal ax0; the same convention is used hereinafter) that are supplied by row address buffer RADB, selects one word line that is specified by the X address signals AX0 through AXi and sets the selection state level to high. The selection operation of a word line by the row address decoder RD is performed in accordance with the word line selection timing signal  $\phi_x$  that is supplied by the timing control circuit TC.

The row address buffer RADB receives the row address signal from address multiplexer AMX, forms complementary internal address signals ax0 through axi and supplies the signals to the row address decoder RD. The dynamic RAM of this embodiment uses the so-called address multiplex method wherein the X address signals AX0 through AXi which specify the row address and the Y address signals AY0 through AYi which specify the column address are time-division multiplexed and supplied through the same external terminals A0 through Ai. The X address signals AX0 through AXi which are supplied from an external source as control signals are fed to external terminals A0

through  $A_i$  in synchrony with the level of the row address strobe signal  $\overline{RAS}$  falling, and the Y address signals  $AY_0$  through  $AY_i$  which are supplied from an external source as control signals are fed to external terminals  $A_0$  through  $A_i$  in synchrony with the level of the column address strobe signal  $\overline{CAS}$  falling. Furthermore, the dynamic RAM of this embodiment is provided with an automatic refresh mode wherein data stored in the memory cells are read and rewritten using a prescribed period. Therefore, a refresh address counter REFC is provided to specify the word line to be refreshed in the automatic refresh mode.

In accordance with the timing signal  $\phi_{ref}$  which is provided by the timing control circuit TC, the address multiplexer AMX selects the X address signals  $AX_0$  through  $AX_i$  that are supplied via external terminals  $A_0$  through  $A_i$  and the refresh address signals  $cx_0$  through  $cx_i$  supplied by refresh address counter REFC and transfers the signals to row address buffer RADB as row address signals. To explain, when the level of the timing signal  $\phi_{ref}$  is low meaning an ordinary memory access mode, the address multiplexer AMX selects the X address signals  $AX_0$  through  $AX_i$  that are supplied by an external device via external terminals  $A_0$  through  $A_i$ ; when the level of the timing signal  $\phi_{ref}$  is high meaning an automatic refresh mode, the address multiplexer AMX selects the refresh address signals  $cx_0$  through  $cx_i$  that are supplied by the refresh address counter REFC.

As afore-described, since the X address signals  $AX_0$  through  $AX_i$  are supplied to external terminals  $A_0$  through  $A_i$  in synchrony with the falling level of the row address strobe signal  $\overline{RAS}$ , the row address signals are obtained by the row address buffer RADB in accordance with the timing signal  $\phi_{ar}$  which is generated by the timing control circuit TC by detecting the falling level of the row

address strobe signal  $\overline{\text{RAS}}$ .

The drains of the MOSFETs used for selecting the addresses of the memory cells that are formed along the same column in memory array M-ARY1 are connected to the corresponding complementary data line. One end of each complementary data line in memory array M-ARY1 is connected to the corresponding switch MOSFET of the column switch CSW1 and, furthermore, is selectively connected to the complementary common data line  $\overline{\text{CDI}}$  (here the noninverting signal line  $\overline{\text{CDI}}$  and inverting signal line  $\overline{\overline{\text{CDI}}}$  of the complementary common data line are collectively represented as complementary common data line  $\overline{\text{CDI}}$ ; the same convention is used hereinafter.).

The column switch CSW1 comprises  $(n + 1)$  pairs of switch MOSFETs which are connected to their corresponding complementary data lines. The other ends of these switch MOSFETs are commonly connected to the noninverting signal line  $\overline{\text{CDI}}$  or inverting signal line  $\overline{\overline{\text{CDI}}}$  which constitute the complementary common data line. This allows the column switch CSW1 to selectively connect  $(n + 1)$  sets of complementary data with common complementary data line  $\overline{\text{CDI}}$ . The gates of the two switch MOSFETs in each pair which constitute the column switch CSW1 are commonly connected and are provided with the data line selection signal which is created by the column address decoder RCD for the random access port.

The column address decoder RCD for the random access port decodes the complementary internal address signals  $\overline{\text{ay0}}$  through  $\overline{\text{ayi}}$  that are supplied by the column address buffer CADB, and, in accordance with the data line selection timing signal  $\overline{\phi_{yr}}$  supplied by the timing control circuit TC, forms the aforementioned data line selection signal which is then supplied to column switches CSW1

through CSW4.

The timing control circuit TC detects the falling level of the column address strobe signal  $\overline{\text{CAS}}$  and generates the corresponding signal  $\phi_{ac}$ . In accordance with the signal  $\phi_{ac}$ , the column address buffer CADB receives and holds the Y address signals AY0 through AYi supplied through external terminals A0 through Ai and forms the complementary internal address signals ay0 through ayi which are then supplied to the column address decoder RCD for the random access port.

The other ends of each complementary data lines in memory array M-ARY1 are connected to the corresponding unit circuits of sense amplifier SA1 and furthermore to the corresponding unit circuits of data register DR1 of the serial access port.

Latches comprising two cross-connected CMOS inverter circuits are used as the basic structural elements of the unit circuits in sense amplifier SA1. Each of the said sense amplifier unit circuits is set in the operation mode by the timing signal  $\phi_{pa}$  which is supplied by the timing control circuit TC, amplifies the micro-signals that are read from a memory cell and output to its corresponding complementary data line, and forms a binary signal with a high level or a low level.

The complementary common data line CD1 to which the complementary data line that is specified by the Y address signals AY0 through AYi is selectively connected is connected to the input/output circuit RIO for the random access port. Complementary common data lines CD2 through CD4 which are provided corresponding to memory arrays M-ARY2 through M-ARY4 are similarly connected to the random access port input/output circuit RIO.

When the dual port memory is in the random access port write operation mode, the random input/output circuit RIO, which is set in the operation mode by the timing signal  $\phi_{rw}$  supplied by the

timing control circuit TC, receives write data from an external device through input/output terminals IO1 through IO4 and transfers the said write data as complementary write signals to the complementary common data lines CD1 through CD4. Furthermore, when the dual port memory is in the random access port read operation mode, the random input/output circuit RIO, which is set in the operation mode by the timing signal  $\phi_{rr}$  supplied by the timing control circuit TC, receives binary signals that are read from the memory cells over complementary common data lines CD1 through CD4, amplifies the said binary signals and then outputs the said binary signals from input/output terminals IO1 through IO4. Although not restricted by this, the said random input/output circuit RIO is provided with a logical operation circuit that uses the read/modify/write function to perform various [logical] operations between the input data and data read from the memory cells and then rewrites the results. The said logical operation circuit is provided with various [logical] operation modes for performing processes such as a raster operation.

The operation mode of the logical operation circuit is specified by the function control circuit FC which comprises a register for holding the operation codes which are supplied through external terminals A0 through A3 and a decoder which decodes the said operation codes and selects and specifies the operation mode of the logical operation circuit. When the level of the column address strobe signal  $\overline{\text{CAS}}$  is set to low before the row address strobe signal  $\overline{\text{RAS}}$  is, and if the level of the write enable signal  $\overline{\text{WE}}$  is low at the same time, the operation codes are supplied to the dual port memory via external terminals A0 through A3. Furthermore, the specific combinations of the operation codes are used as internal control signal  $sp$  which sets the output of the serial input/output circuit SIO described hereinbelow in the so called x1 bit configuration.

As described hereinbelow, when the dual port memory is in the serial read operation mode, the external terminals IO1 through IO4 for data input and output are provided with the number of cycles of the serial clock signal SC required for starting the serial output operation after the serial read operation mode is activated. With the dual port memory of this embodiment, this arrangement allows the timing when the serial output mode will begin after its activation to be set at will and enables a serial output operation that is synchronized in a stable manner with the serial clock signal SC whose period will be short when the dot rate is high. The data on the number of cycles that is supplied to external data input/output terminals IO1 through IO4 is sent to timing control circuit TC as internal signals io1 through io4.

The serial access port of the dual port memory of this embodiment comprises data registers DR1 through DR4 of  $(n + 1)$  bits corresponding to the complementary data lines in each memory arrays, data selectors DSL1 through DSL4, pointer PNT, column address decoder SCD for the serial access port and serial input/output circuit SIO, the latter three being commonly provided for the aforesaid four data registers and data selectors. Incidentally, depending on the layout of the memory arrays on a semiconductor substrate, a plurality of pointers PNT and a plurality of the column address decoders SCD for the serial access port may be provided.

Corresponding to the complementary data lines in the memory array M-ARY1, the data register DR1 includes  $(n + 1)$  pieces of flip-flops for data latching purpose. Switch MOSFETs for data transfer use are provided between the input/output nodes of the said flip-flops and their corresponding noninverting signal line and inverting signal line of the complementary data lines. Timing signal  $\phi_{dt}$  for data transfer use output by the timing control circuit TC is supplied to the gates of the aforesaid MOSFETs.

Each bit of the data register DR1 is connected to its corresponding switch MOSFET of data selector DSL1. The data selector DSL1, which is similarly constructed as the afore-described column switch SW1, selectively connects each bit of the data register DR1 with the complementary common data line CDS1 used for serial input and output. The gates of each pair of switch MOSFETs of data selector DSL1 are commonly connected and are provided with the register selection signal from pointer PNT.

The pointer PNT comprises a latch circuit (pointer latch) which holds the serial operation start bit that is specified by the column address decoder SCD for the serial access port, shift register with  $(n + 1)$  bits, and a switch circuit consisting of an n-channel MOSFET that is provided between the aforesaid latch circuit and the aforesaid shift register. The output terminal ps for the last bit in the said shift register is connected to the input terminal for the first bit. Furthermore, the aforesaid timing signal  $\phi_{dt}$  is commonly supplied to the gates of the aforesaid switch MOSFETs. When the dual port memory is in the serial input/output mode, the shift register of pointer PNT engages in a looping shift operation in accordance with the shift clock timing signal  $\phi_c$  that is supplied by the timing control circuit TC. The selection signal that is held by the pointer latch circuit is supplied to the shifter register as its initial value when the level of the timing signal  $\phi_{dt}$  becomes high.

The column address decoder SCD for the serial access port decodes the complementary internal address signals  $ay_0$  through  $ay_i$  which are supplied by the column address buffer CADB and sets only the bit of pointer PNT corresponding to the first bit of the serial input/output specified by the Y address signals  $AY_0$  through  $AY_i$  to a logical "1." To elaborate, when the serial input/output mode is being used, the word line is selected by the X address signals  $AX_0$  through  $AX_i$ , and Y address signals  $AY_0$  through  $AY_i$  specify the address of the first column where the serial input and output is to

be performed. The logical "1" signal that is written to the specified bit of pointer PNT by the column address decoder SCD for the serial access port is shifted in a loop inside pointer PNT in accordance with timing signal  $\phi_c$ . The said shifting of the logical "1" signal results in a register selection signal with a high level to be sequentially supplied to the data selector DSL1. This then results in each bit of data register DR1 to be successively connected to the complementary common data line CDS1 used for serial input and output. With the dual port memory of the present embodiment, this arrangement allows the serial input and output of the memory data to be started from any desired column address which in turn allows processes like scrolling on an image memory to be performed at a high speed.

In the foregoing manner, when the dual port memory is in the serial read operation mode, the  $(n + 1)$  bits of read data that are output over  $(n + 1)$  sets of complementary data lines in memory array M-ARY1 are stored in data register DR1 when the level of timing  $\phi_{dt}$  becomes high. At the same time, with respect to pointer PNT, when the level of timing  $\phi_{dt}$  becomes high, the selection signal that is held by the pointer latch is transferred to the shift register as the initial value. In accordance with the register selection signal that is successively sent from pointer PNT, read data is sent to the serial input/output circuit SIO via the complementary common data line CDS1 for serial input and output. On the other hand, when the dual port memory is in the serial write operation mode, the write data which is serially sent from serial input/output terminal SIO1 via serial input/output circuit SIO is sequentially provided to the corresponding bit of the data register DR1 in accordance with the register selection signal that is successively sent from pointer PNT. When the level of timing  $\phi_{dt}$  changes to high, the write data which was stored in data register DR1 is written, all at once, to the  $(n + 1)$  pieces of memory cells which are connected to the selected word line in memory array M-ARY1.

The serial input/output circuit SIO includes a data input buffer, a data output buffer and four

main amplifiers which are provided corresponding to serial input/output terminals SIO1 through SIO4 and complementary common data lines CDS1 through CDS4 used for serial input and output. When the dual port memory is in the read data transfer mode, the data output buffer of the serial input/output circuit SIO is set in the operation mode when the level of the timing signal  $\phi_{sr}$  from the timing control circuit TC becomes high, and the data that is output over the corresponding complementary common data lines CDS1 through CDS4 for serial input and output and then amplified by the corresponding main amplifiers is output to an external device using the serial input/output terminals SIO1 through SIO4. When the dual port memory is in the serial write operation mode, the data input buffer of the serial input/output circuit SIO is set in the operation mode when the level of the timing signal  $\phi_{sw}$  from the timing control circuit TC becomes high, and the write data that is supplied from an external device over the corresponding serial input/output terminals SIO1 through SIO4 is transferred as complementary write data signals to the corresponding complementary common data lines CDS1 through CDS4 for serial input and output. The serial input/output circuit SIO performs the serial input and output operation on the memory data in accordance with timing signal  $\phi_c$  which is generated by the timing control circuit TC based on a serial clock signal SC that is supplied from an external source.

As described above, with the dual port memory of this embodiment, the serial output signal of the serial input/output circuit SIO is ordinarily output four bits at a time using the four serial input/output terminals SIO1 through SIO4. However, to realize a serial memory with a larger memory capacity, it is possible to use the dual port memory as a memory with the so-called x1 bit configuration where data that is read and output from four memory arrays, M-ARY1 through M-ARY4, is serially output through one serial input/output terminal. In this case, as mentioned earlier, one of the combinations of the operation codes which control the operation mode of the logical operation

circuit in the random input/output circuit RIO is used as internal control signal  $sp$  which specifies a  $x1$  bit configuration for the serial output. When the level of the said internal control signal  $sp$  from the function control circuit FC becomes high, a multiplexer that is provided in the serial input/output circuit SIO sequentially selects the read data that is serially output over the four sets of serial input/output complementary common data lines CDS1 through CDS4 and outputs to an external device using one serial input/output terminal SIO1. Since this serial output is performed in accordance with timing signal  $\phi c$  from the timing control circuit TC, the data rate becomes the same as what the data rate would be for each input/output terminal had the four serial input/output terminals SIO1 through SIO4 been used to perform a serial output four bits at a time.

The timing control circuit TC receives from an external source, as control signals, row address strobe signal  $\overline{RAS}$ , column address strobe signal  $\overline{CAS}$ , write enable signal  $\overline{WE}$ , data transfer control signal  $\overline{DT/OE}$ , and serial output control signal  $\overline{SOE}$  and forms the various aforesaid timing signals and supplies them to the different circuits. The timing control circuit also uses the serial clock signal SC supplied from an external source to generate the timing signal  $\phi c$  which is used for synchronizing the serial input/output operation and supplies the said signal to the serial input/output circuit SIO.

The operation mode of the dual port memory is specified by suitably combining the various control signals. For example, if the level of the row address strobe signal  $\overline{RAS}$  is low already and if, when the level of the column address strobe signal  $\overline{CAS}$  becomes low, the level of the write enable signal  $\overline{WE}$  is high, the ordinary read operation mode using the random access port is selected. If the

level of the row address strobe signal  $\overline{RAS}$  is low already and if, when the level of the column address strobe signal  $\overline{CAS}$  becomes low, the level of the write enable signal  $\overline{WE}$  is low, the ordinary write operation mode using the random access port or the [logical] operation write operation mode is selected. Furthermore, if, when the level of the row address strobe signal  $\overline{RAS}$  falls, the level of the write enable signal  $\overline{WE}$  is high and the level of the data transfer control signal  $\overline{DT/OE}$  is low, the read data in the memory array is transferred to data registers DR1 through DR4, and the so-called data transfer mode is selected for serially reading the data.

As described above, when the dual port memory of the present embodiment is in the data transfer mode, when the level of the row address strobe signal  $\overline{RAS}$  falls to low, in synchrony with this change in level, the number of cycles of the serial clock signal SC required from activation until the start of the next data transfer operation on the serial read data is set in external terminals IO1 through IO4 used for data input and output. Because of this, the timing control circuit TC is provided with counter circuit CTR which receives the data on the number of cycles via the data input/output terminals IO1 through IO4 and performs a count-down operation in accordance with the serial clock signal SC. The read data that is output to the respective data lines is transferred to data registers DR1 through DR4 in accordance with the timing signal  $\phi_{dt}$  which is generated when the value of counter circuit CTR in the timing control circuit TC becomes "0." The said data is then output by the serial input/output circuit SIO to the outside via serial input/output terminals SIO1 through SIO4 in accordance with the timing signal  $\phi_c$ .

Next, if, when the level of the row address strobe signal  $\overline{\text{RAS}}$  falls, the levels of the data transfer control signal  $\overline{\text{DT/OE}}$  and the write enable signal  $\overline{\text{WE}}$  are both low and the level of the serial input/output control signal  $\overline{\text{SOE}}$  is high, the timing control circuit TC sets the dual port memory in the serial write operation mode, and the serial write data that is supplied via serial input/output terminals SIO1 through SIO4 is fed to data registers DR1 through DR4. On the other hand, if, when the level of the row address strobe signal  $\overline{\text{RAS}}$  falls, the levels of the data transfer control signal  $\overline{\text{DT/OE}}$  and the write enable signal  $\overline{\text{WE}}$  are both low and the level of the serial input/output control signal  $\overline{\text{SOE}}$  is also low, the write data transfer mode is selected, and the transfer timing signal  $\phi_{dt}$  is generated. This sets the transfer switch MOSFETs of data registers DR1 through DR4 in an ON state. This results in the afore-described serial write operation mode, and the write data stored in data registers DR1 through DR4 are fed all at once to  $(n + 1)$  bits of memory cells that are connected to the selected word line in the memory array. The serial write operation using the serial access port of a dual port memory is realized by executing the write data transfer mode in combination after executing the afore-described serial write operation mode.

On the other hand, if the level of the column address strobe signal  $\overline{\text{CAS}}$  changes from high to low before the level of the row address strobe signal  $\overline{\text{RAS}}$  falls to low, the so-called  $\overline{\text{CAS}}$  before  $\overline{\text{RAS}}$  refresh mode is selected. Also, if the level of the write enable signal  $\overline{\text{WE}}$  is already

low when the level of the row address strobe signal  $\overline{\text{RAS}}$  falls, the [logical] operation mode setting cycle is selected, and the [logical] operation code which is supplied via external terminals A0 through A3 is stored in the register in the function control circuit FC.

With all of the operation modes other than the afore-described [logical] operation mode setting cycle, the X address signals AX0 through AXi which specify the word line are supplied to the external terminals A0 through Ai in synchrony with the falling level of the row address strobe signal  $\overline{\text{RAS}}$ . Also, if a particular operation mode requires a column address, the Y address signals AY0 through AYi which specify the complementary data line are supplied to external terminals A0 through Ai in synchrony with the falling level of the column address strobe signal  $\overline{\text{CAS}}$ .

Fig. 1 shows a circuit diagram of a part of one embodiment of the timing control circuit TC for a dual port memory shown in Fig. 2.

As previously stated, with the dual port memory of this embodiment, the data input/output external terminals IO1 through IO4 are used to specify, using a binary representation, the number of cycles of the serial clock signal SC that is required from the activation of the dual port memory by the level of the row address strobe signal  $\overline{\text{RAS}}$  becoming low until the start of the data transfer operation on the read data. The said number of cycles is supplied as internal data io1 through io4 to the corresponding bits in the counter circuit CTR in the timing control circuit TC.

Another timing generating circuit is provided within timing control circuit TC, and from the said other timing generating circuit, the counter circuit CTR receives the timing signal  $\phi_{cs}$  which is

generated in synchrony with the falling level of the row address strobe signal  $\overline{RAS}$ . The counter circuit CTR also receives the [counter] advancing timing signal  $\phi_{cp}$  which is created within the timing control circuit TC shown in the said figure.

The inverted output signals  $\overline{C1}$  through  $\overline{C8}$  from each bit in the counter circuit CTR are supplied to the four input terminals of the AND gate circuit AG1. The level of the output signal  $ctr0$  of the AND gate circuit AG1 is set to high when the inverted output signals  $\overline{C1}$  through  $\overline{C8}$  of the counter circuit CTR are all logical "0," that is, when the value of the counter circuit CTR becomes "0."

The output signal  $ctr0$  of the AND gate circuit AG1 is fed to one input terminal of the NAND gate circuit NAG1 and, after the said output signal has been inverted by inverter circuit N3, also to one input terminal of the AND gate circuit AG2. The other input terminal of the NAND gate circuit NAG1 receives the output signal  $srm$  from a flip-flop which is not illustrated after the said output signal  $srm$  has passed through a suitable delay means (for example, an even number of inverter circuits). The said output signal  $srm$  from the flip-flop which is not illustrated is set if, when the level of the row address strobe signal  $\overline{RAS}$  falls from high to low, the levels of the column address strobe signal

$\overline{CAS}$  and the write enable signal  $\overline{WE}$  are high and the level of the data transfer control signal  $\overline{DT}/\overline{OE}$  is low. In other words, the output signal  $srm$  of the said flip-flop is used as a mode signal which specifies the read data transfer cycle of the dual port memory. Given this setup, the level of the output signal of the NAND gate circuit NAG1 becomes low when the levels of the output signal  $ctr0$  of the AND gate circuit AG1 and the mode signal  $srm$  are high. The output signal of the NAND gate circuit

NAG1 is delayed by a suitable delay means D, inverted by inverter circuit N4 and then fed to one of the input terminals of the NOR gate circuit NOG1 while the output signal of the NAND gate circuit NAG1 is also fed directly to the other input terminal of the NOR gate circuit NOG1. The output signal of the NOR gate circuit NOG1 is fed to pointer PNT as timing signal  $\phi_{dt}$ . In other words, when the level of the mode signal srm is high which means that the dual port memory is in the read data transfer mode, the level of the timing signal  $\phi_{dt}$  is temporarily set to high for a prescribed amount of time when the level of the output signal  $ctr0$  of the AND gate circuit AG1 is high.

Serial clock signal SC that has passed through inverter circuits N1 and N2 is fed to the other input terminal of the AND gate circuit AG2. This means that the level of the output signal of the AND gate circuit AG2 becomes high when the level of the output signal  $ctr0$  of the AND gate circuit AG1 is low, the level of the output signal of the inverter circuit N3 is high, that is, when the value of the counter circuit CTR is not "0," and the level of the serial clock signal SC is high. In other words, the output signal of the AND gate circuit AG2 serves as a timing signal  $\phi_{cp}$  which advances and counts down the counter circuit CTR until the value of the counter circuit CTR becomes "0." Also, the serial clock signal SC that has passed through inverter circuits N1 and N2 becomes timing signal  $\phi_c$ .

Fig. 3 shows a timing chart of one embodiment which is used to explain the operation of the read data transfer mode for a dual port memory that includes the timing control circuit TC shown in Fig. 4 [sic]. An overview of the read transfer mode of the dual port memory of this embodiment is explained with reference to Fig. 3.

In Fig. 3, the dual port memory is activated when the level of the row address strobe signal  $\overline{RAS}$  changes from high to low. Prior to the level of the row address strobe signal  $\overline{RAS}$  falling

from high to low, the levels of the column address strobe signal  $\overline{\text{CAS}}$  and write enable signal  $\overline{\text{WE}}$  are set to high, and the level of the data transfer control signal  $\overline{\text{DT/OE}}$  is set to low. The X address signals AX0 through AXi which specify the word line are fed to the external terminals A0 through Ai, and the number of serial-clock signal SC cycles ctrz which must elapse between the level of the row address strobe signal  $\overline{\text{RAS}}$  falling and the start of the serial output operation on the read data is fed to external terminals IO1 through IO4 used for data input and output.

The number of cycles ctrz is determined by the counter value of a counter circuit which is included in a memory control circuit that is external to the dual port memory and which is used for controlling the horizontal pixel location on a CTR [sic]. To explain, letting N1 represent the counter value corresponding to the last bit in one word line worth of read data and N2 represent the counter value when the level of the row address strobe signal  $\overline{\text{RAS}}$  is to fall, the number of cycles ctrz is determined as follows:

$$\text{ctrz} = \text{N1} - \text{N2}$$

The number cycles ctrz is set to a suitable value that satisfies the above equation while providing more time than is necessary to set a read data in the random access port of a dual port memory.

The level of the column address strobe signal  $\overline{\text{CAS}}$  changes from high to low with a slight delay after the level of the row address strobe signal  $\overline{\text{RAS}}$  falls. Prior to the level of the column address strobe signal  $\overline{\text{CAS}}$  falling from high to low, the address of the data line that should be output

first during a serial output operation is supplied to external terminals A0 through Ai as Y address signals AY0 through AYi. The levels of the row address strobe signal  $\overline{RAS}$ , column address strobe signal  $\overline{CAS}$ , write enable signal  $\overline{WE}$  and data transfer control signal  $\overline{DT/OE}$  are returned to high after the counter value of the counter circuit CTR has become "0" and the serial output operation has been started.

With the dual port memory, when the level of the row address strobe signal  $\overline{RAS}$  falls, the X address signals AX0 through AXi are stored in the row address buffer RADB, and a word line selection operation is performed. When the level of the row address strobe signal  $\overline{RAS}$  falls, the level of the mode signal srm is set to high, the timing signal  $\phi_{cs}$  is generated, and the number of cycles ctrz which is supplied to external terminals IO1 through IO4 used for data input and output are stored in the counter circuit CTR. This makes the output of the counter circuit CTR to a value other than "0," and the level of the output signal ctr0 of the AND gate circuit AG1 shown in Fig. 1 becomes low. When the level of the output signal of the said AND gate circuit AG1 becomes low, that is, when the level of the output signal of the inverter circuit N3 becomes high, the output signal of the AND gate circuit AG2, that is, the timing signal  $\phi_{cp}$  for advancing the counter circuit CTR is generated. Whenever the level of the said timing signal  $\phi_{cp}$  becomes low, the counter circuit CTR counts down from the value of the number of cycles ctrz that was initially stored toward the value of "0."

While the counter circuit CTR is counting down the serial clock signal SC, the word line selection operation is completed in the dual port memory, and the data that is read from the (n + 1) memory cells that are connected to the selected word line is set in their corresponding complementary

data lines. Also, when the level of the column address strobe signal  $\overline{\text{CAS}}$  falls, the Y address signals AY0 through AYi are received, and the column address decoder SDC for the serial access port begins selecting a data line. At the same time that the said column address decoder SDC for the serial access port completes the decoding process, the timing signal  $\phi_{ys}$  is created, and a logical "1" is set in the bits of pointer PNT corresponding to the Y address signals AY0 through AYi.

As the counter circuit CTR counts down and when the counter value becomes "0," the level of the output signal ctr0 from the AND gate circuit AG1 becomes high which causes the level of the output signal of the inverter circuit N3 to become low and stops the timing signal  $\phi_{cp}$  which is used for advancing the counter circuit CTR. Also, timing signal  $\phi_{dt}$  is created and the read data that had been set in each of the data lines is transferred to data registers DR1 through DR4. Furthermore, timing signal  $\phi_{sr}$  is generated in synchrony with the serial output control signal  $\overline{\text{SOE}}$  which controls the data output buffer DOB of the serial input/output circuit SIO.

With the timing signal  $\phi_{sr}$  at a high level, the serial input/output terminals SIO1 through SIO4 changes from a high-impedance state Hz to a level commensurate with the read data in the first address specified by Y address signals AY0 through AYi. This commences the output operation of the read data.

With the levels of the mode signal srm and the output signal ctr0 of the AND gate circuit AG1 being high, the timing control circuit TC generates timing signal  $\phi_c$  which is used for shifting and is synchronized with the serial clock signal SC. The said timing signal  $\phi_c$  is supplied to the serial input/output circuit SIO and the pointer PNT. This causes the logical "1" signal that had been set by the selection operation of the column address decoder SDC for the serial access port in the bits of

pointer PNT corresponding to the Y address signals AY0 through AYi to shift in a loop. This causes the read data that had been stored in data registers DR1 through DR4 to be output to serial input/output terminals SIO1 through SIO4 via the serial input/output circuit SIO and the complementary common data lines CDS1 through CDS4 for serial input/output use. The shifting of the pointer PNT with the timing signal  $\phi c$  happens in synchrony with the level of the said timing signal rising from low to high. The pointer PNT ignores the first pulse from the timing signal  $\phi c$  so as to secure an output time width for the first data.

As the serial output operation for the read data progresses as dictated by the timing signal  $\phi c$  and when the last read data is output, the level of the serial output control signal  $\overline{SOE}$  is returned to high which causes the level of the mode signal  $srm$  to become low which, in turn, causes the level of the serial output timing signal  $\phi sr$  to be set to low in synchrony with the level of the serial clock signal SC rising to high. This stops the serial output operation of the dual port memory, and the serial input/output terminals SIO1 through SIO4 are set in a high-impedance state.

As the foregoing description shows, when the dual port memory of the present embodiment is in the read data transfer mode, the number of cycles  $ctrz$  of the serial clock signal SC required between the level of the row address strobe signal  $\overline{RAS}$  becoming low and the start of the serial output operation of the read data is specified in synchrony with the level of the row address strobe signal  $\overline{RAS}$  becoming low. The said number of cycles  $ctrz$  is set in the counter circuit CTR in the timing control circuit TC as an initial value for starting the count down operation. When the counting down by the counter circuit CTR ends and the counter value becomes "0," the serial output operation of the read data is begun. This allows the serial output operation of the dual port memory to be performed in

accurate synchrony with the serial clock signal SC and the scanning timing of the CTR [sic] and thereby provides stable displayed images even when an external high-resolution CTR [sic] with an extremely high dot rate for the displayed data is used.

As the foregoing description of the present embodiment shows, a semiconductor memory device such as a dual port memory that uses the present invention for image processing provides the following effects, namely:

- (1) When a dual port memory is in the read data transfer mode, by specifying – in synchrony with the activation control signal – the number of cycles of the serial clock signal between the activation and the start of the serial output operation on the read data and by counting down using the counter circuit provided in the timing control circuit TC, the serial output operation on the read data can be started with a timing that is synchronized in a stable manner with the serial clock signal.
- (2) Because of (1) above, a real time transfer of the read data can be performed in accurate synchrony with the serial clock signal SC and the scanning timing of the CTR [sic] and thereby provides stable displayed images even when an external high-resolution CTR [sic] with an extremely high dot rate for the displayed data is used.

The invention made by the inventor has been described hereinbefore in concrete terms using one embodiment of the invention, but the present invention is not restricted by the said embodiment. Needless to say, various modifications are possible without deviating from the gist of the invention. For example, the timing control circuit TC of Fig. 1 coordinates the timing by performing a count down operation with the counter circuit CRT. However, it is also acceptable to store the number of cycles ~~ctrz~~ of the serial clock signal SC supplied from the outside in a register and to count up the counter circuit CTR and to start the serial output operation when the output of the counter circuit CTR matches

the number of cycles ctrz set in the register. It is also acceptable to decode the number of cycles ctrz, set a logical "1" in the corresponding bit of a separately provided shift register, shift the said shift register using the serial clock signal SC, and start the serial output operation when the said logical "1" has reached a prescribed position. With the present embodiment, the number of cycles ctrz is provided in synchrony with the falling level of the row address strobe signal  $\overline{\text{RAS}}$ , but it is also acceptable to do this in synchrony with the falling level of the column address strobe signal  $\overline{\text{CAS}}$ . Furthermore, it is acceptable for the dual port memory shown in Fig. 2 to comprise only one memory array or for the input/output circuit RIO for the random access port to be not provided with a logical operation circuit. In this manner, various modifications are possible in the block configuration, the combination of the control signals, etc. that are used.

Even though the description hereinbefore of the present invention was provided as applied to a dual port memory, the present invention is not restricted to use with dual port memories. For example, the present invention can be used with various multi-port memories with a serial input/output function. At the least, the present invention can be used with semiconductor memory devices whose serial output operation is controlled by control signals and a clock signal that are provided from an external source.

#### Effects of the invention

The effects that are obtained from the representative example of the invention disclosed in this application are as follows. To explain, when a dual port memory is in the read data transfer mode, by specifying the number of cycles of the serial clock signal between activation and the start of the data transfer operation on the read data and by counting down using the counter circuit provided in the

timing control circuit TC, the serial output operation on the read data can be started using a timing that is synchronized in a stable manner with the serial clock signal, and since a real time transfer of the read data can be performed in synchrony with the serial clock signal SC and the scanning timing of the CTR [sic], stable displayed images are obtained even when the dot rate of the displayed data is increased.

#### 4 Brief description of the figures

Fig. 1 is a circuit diagram showing a part of one embodiment of a timing control circuit of a dual port memory that uses the present invention.

Fig. 2 is a block diagram showing one embodiment of a dual port memory that includes the timing control circuit shown in Fig. 1.

Fig. 3 is a timing chart of one embodiment of the read data transfer mode in a dual port memory shown in Fig. 2.

Fig. 4 is a timing chart for the read data transfer mode in a dual port memory which was developed by the inventor of the present application in concert with other individuals before the present invention.

TC:	Timing control circuit
CTR:	Counter circuit
AG1 through AG2:	AND gate circuits
NAG1:	NAND gate circuit
N1 through N4:	Inverter circuits
M-ARY1:	Memory array
SA1:	Sense amplifier
CSW1:	Column switch
RCD:	Column address decoder for the random access port

SCD:	Column address decoder for the serial access port
RADB:	Row address buffer
AMX:	Address multiplexer
CADB:	Column address buffer
REFC:	Refresh address counter
DRI:	Data register
DSL:	Data selector
PNT:	Pointer
RIO:	Input/output circuit for the random access port
FC:	Function control circuit
SIO:	Input/output circuit for the serial access port

Agent: Patent agent Masao Ogawa. [Seal: Illegible]

Fig. 1

Fig. 2

Fig. 3

Fig. 4